

Soluções Sólitons da Equação de Konno-Sanuki

Rodrigo da Silva Tito e Prof. Dr Luiz Alberto de Oliveira Silva

Bacharelado em Matemática

Centro de Ciências Exatas e Tecnológicas da UFRB

Rua Rui Barbosa, 710 Centro, Cruz das Almas, BA

rod.stito, lulaluizmat (@gmail.com)



Resumo

Neste trabalho, usamos o fato da equação de Konno-Sanuki ser pseudo-esférica (PE), para obtermos a auto-transformação de Bäcklund. Essa tal transformação é uma ferramenta poderosa, capaz de nos fornecer soluções 1-sóliton. Além do mais, por meio do princípio de superposição não-linear para a equação examinada, obtivemos fórmulas puramente algébricas para gerarmos as soluções 2, 3-sóliton, breather e wobble.

1. Introdução

Alguns fenômenos físicos não-lineares, são modelados pelas equações diferenciais parciais que descrevem superfícies pseudo-esféricas. Um exemplo é a equação de Konno-Sanuki [2], que por sua vez, descreve ondas não-lineares sob a influência do potencial de deslocamento fraco; tal equação, admite soluções do tipo sóliton. Essas soluções na literatura são ondas não-lineares, solitárias, que se propagam com velocidade constante, sem perderem energia e mantendo suas formas mesmo após interações com outros sólitons. Motivados em obter esse tipo de soluções para equação de Konno-Sanuki, construímos fórmulas puramente algébricas que fornecem as soluções 1,2,3 - sóliton, breather e wobble por um processo simplificado. Esse feito, se deu mediante o fato da equação ser pseudo-esférica, possibilitando assim a utilização da auto-transformação de Bäcklund com o princípio de superposição não-linear.

2. Metodologia

A pesquisa seguiu por meio de um percurso personalizado auxiliado pelo orientador, com aulas teóricas e sessões de discussão, agregados ao uso da computação simbólica (Maple) para construir, verificar e apresentar os resultados.

3. Equação de Konno-Sanuki

Teorema 1 A equação de Konno-Sanuki é dada por

$$v_{xt} = v_{xxx} + \frac{3}{2}v_x^2 v_{xx} + \alpha \sin v,$$

com $v = v(x, t)$ e as 1-formas associadas

$$\begin{aligned}\omega_1 &= 0dx + \left(\frac{\alpha}{\eta} \sin(v) - \eta v_{xx}\right) dt, \\ \omega_2 &= \eta dx + \left(\frac{\alpha}{\eta} \cos(v) + \frac{1}{2}\eta v_x^2 + \eta^3\right) dt, \\ \omega_3 &= v_x dx + \left(v_{xxx} + \frac{1}{2}v_x^3 + \eta^2 v_{xx}\right) dt.\end{aligned}$$

com $\eta, \alpha \in \mathbb{R} - \{0\}$, descreve superfície PE.

4. Resultados e Discussão

A auto-transformação de Bäcklund é um método eficiente para obter soluções exatas de EDPs não-lineares que descrevem SPE; donde estabelece uma forte ligação entre a geometria diferencial clássica e a teoria moderna de sóliton.

Teorema 2 A transformação

$$\begin{aligned}\bar{\Gamma} &= \frac{1}{\Gamma}, \\ \bar{v} &= v + 4 \arctan(\Gamma),\end{aligned}$$

deixa invariante o sistema de Riccati da equação de Konno-Sanuki com as f_{ij} dada, isto é:

$$\begin{cases} \bar{\Gamma}_x + f_{31} \left[\frac{1+\bar{\Gamma}^2}{2} \right] + f_{21}\bar{\Gamma} + f_{11} \left[\frac{1-\bar{\Gamma}^2}{2} \right] = 0, \\ \bar{\Gamma}_t + f_{32} \left[\frac{1+\bar{\Gamma}^2}{2} \right] + f_{22}\bar{\Gamma} + f_{12} \left[\frac{1-\bar{\Gamma}^2}{2} \right] = 0.\end{cases}$$

Teorema 3 A auto-transformação de Bäcklund para a equação de Konno-Sanuki é dada por

$$\begin{cases} (\bar{v} + v)_x = -2\eta \sin\left(\frac{\bar{v}-v}{2}\right), \\ (\bar{v} - v)_t = -2 \left[v_{xxx} + \frac{1}{2}v_x^3 + \eta^2 v_{xx} + \left(\frac{\eta}{2}v_x^2 + \frac{\alpha \cos(v)}{\eta} + \eta^3\right) \sin\left(\frac{\bar{v}-v}{2}\right) + \left(\frac{\alpha \sin(v)}{\eta} - \eta v_{xx}\right) \cos\left(\frac{\bar{v}-v}{2}\right) \right].\end{cases}$$

Corolário 3.1 As soluções 1-sóliton para a equação de Konno-Sanuki, via auto-transformação de Bäcklund são dadas por

$$v_1 = 4 \arctan \left[\frac{1}{R} \right],$$

onde, $R = \exp \left(\eta x + \left(\frac{\alpha}{\eta} + \eta^3 \right) t + k \right)$, com $k \in \mathbb{R}$.

Exemplo 1 : A solução 1-sóliton para três níveis de tempo:

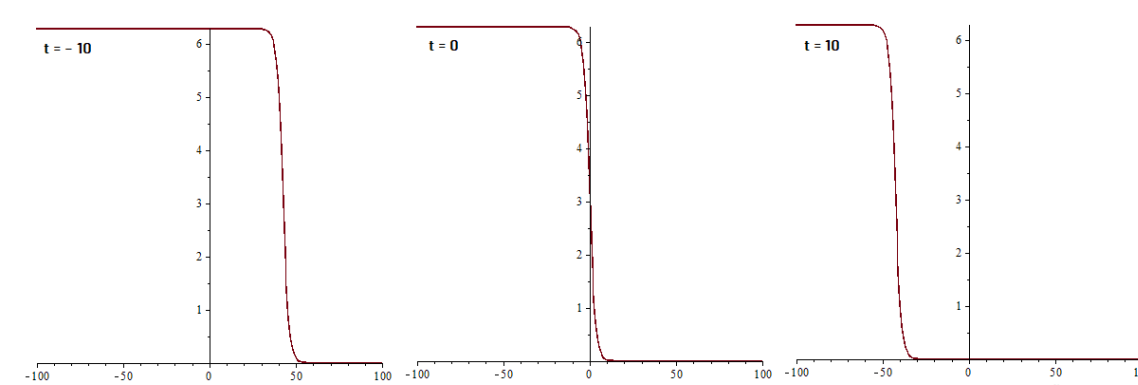


Figura 1: $k = 0$; $\alpha = 1$; $\eta = 0.5$.

Teorema 4 O Princípio de Superposição Não-Linear para a equação de Konno-Sanuki é dado pela fórmula

$$v_{12} = v_0 + 4 \arctan \left[\left(\frac{\eta_1 + \eta_2}{\eta_1 - \eta_2} \right) \tan \left(\frac{v_2 - v_1}{4} \right) \right].$$

Corolário 4.1 As soluções 2-sóliton para a equação de Konno-Sanuki, via auto-transformação de Bäcklund são dadas por

$$v_{12} = 4 \arctan \left[A_{12} \left(\frac{R_1 - R_2}{R_1 R_2 + 1} \right) \right],$$

com $A_{12} = \frac{\eta_1 + \eta_2}{\eta_1 - \eta_2}$, $\eta_1 \neq \eta_2$ e $R_j = \exp \left(\eta_j x + \left(\frac{\alpha}{\eta_j} + \eta_j^3 \right) t + k_j \right)$, com $j \in \{1, 2\}$.

Exemplo 2 : A solução 2-sóliton para três níveis de tempo:

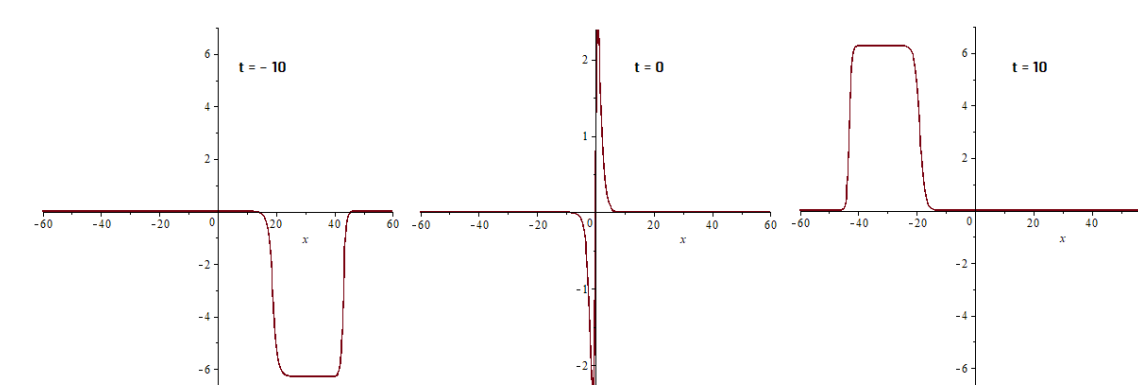


Figura 2: $k_1 = k_2 = 0$; $\alpha = 1$; $\eta_1 = 1$; $\eta_2 = 2$.

Corolário 4.2 As soluções 3-sóliton para a equação de Konno-Sanuki via auto-transformação de Bäcklund são dadas por:

$$v_{13} = 4 \arctan \left[\frac{b_2 + A_{12} A_{23} b_{12} b_{23} b_2 + A_{13} (A_{23} b_{23} - A_{12} b_{12})}{1 + A_{12} A_{23} b_{12} b_{23} - A_{13} b_2 (A_{23} b_{23} - A_{12} b_{12})} \right],$$

com $b_2 = \frac{1}{R_2}$, $b_{jk} = \frac{R_j - R_k}{R_j R_k + 1}$, $A_{jk} = \frac{\eta_j + \eta_k}{\eta_j - \eta_k}$, $\eta_j \neq \eta_k$, $R_j = \exp \left(\eta_j x + \left(\frac{\alpha}{\eta_j} + \eta_j^3 \right) t + k_j \right)$ e $j, k \in \{1, 2, 3\}$, $j \neq k$.

Exemplo 3 : A solução 3-sóliton para três níveis de tempo:

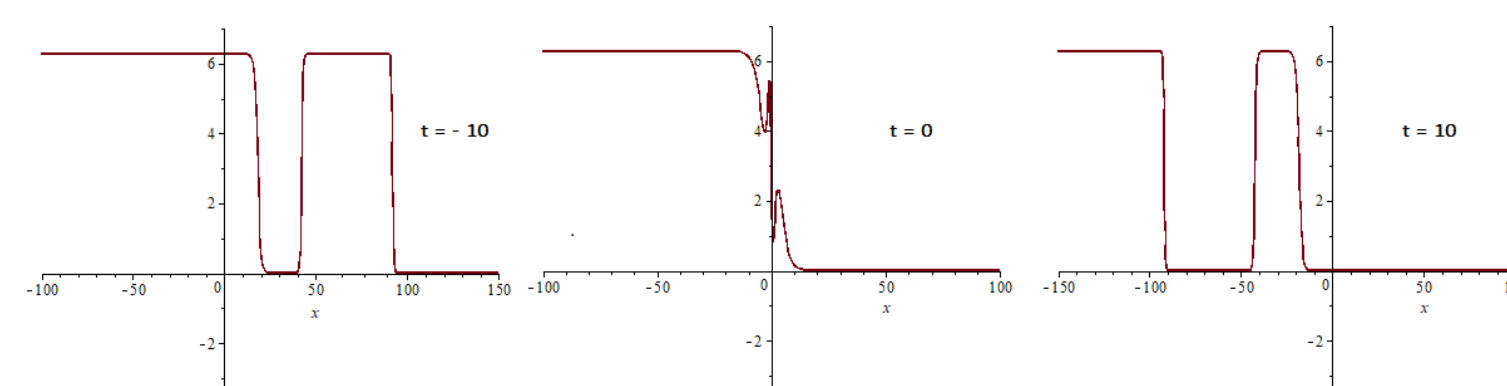


Figura 3: $k_1 = k_2 = k_3 = 0$; $\alpha = 1$; $\eta_1 = 1$; $\eta_2 = 2$; $\eta_3 = 3$

Teorema 5 : As soluções breathers da equação de Konno-Sanuki são dadas pela fórmula

$$v_b = 4 \arctan \left\{ \cot(\theta) \frac{\sin \{-x \cos(\theta) - [\alpha \cos(\theta) + \cos(3\theta)] t\}}{\cosh \{x \sin(\theta) - [\alpha \sin(\theta) - \sin(3\theta)] t\}} \right\},$$

com $\theta = \arg(\eta_1)$.

Exemplo 4 : A solução breather para três níveis de tempo:

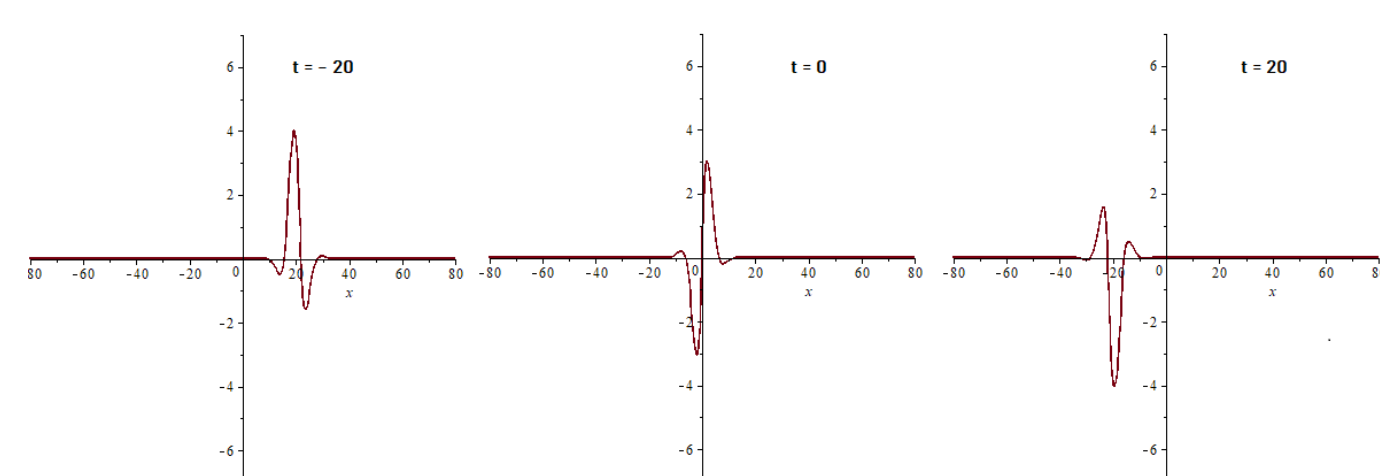


Figura 4: $\alpha = 1$; $\theta = \frac{\pi}{6}$.

Conjectura 1 As soluções wobbles da equação de Konno-Sanuki são dadas pela fórmula

$$v_w = 4 \arctan \left[\frac{N(x, t)}{D(x, t)} \right]$$

$$\begin{aligned}N(x, t) &= \left[\cot^2 \left(\frac{\theta}{2} \right) \left(e^{3G_\theta} + e^{2G+G_\theta} - 2e^{2G_\theta+G} \cos(H) \right) \right. \\ &\quad + 2 \cot \left(\frac{\theta}{2} \right) \left(\left(e^G - e^{2G_\theta+G} \right) \cos(H) + e^{2G+G_\theta} - e^{G_\theta} \right) \\ &\quad \left. + e^{2G+3G_\theta} + 2e^{2G_\theta+G} \cos(H) + e^{G_\theta} \right] \cot(\theta), \\ D(x, t) &= \cot^2 \left(\frac{\theta}{2} \right) \left(e^{2G_\theta} + e^{2G} - 2e^{G+G_\theta} \cos(H) \right) + 2 \cot \left(\frac{\theta}{2} \right) \\ &\quad \cdot \left(\left(e^{3G_\theta+G} - e^{G+G_\theta} \right) \cos(H) - e^{2(G+G_\theta)} + e^{2G_\theta} \right) \\ &\quad + e^{2(G+G_\theta)} + 2e^{G+G_\theta} \cos(H) + 1,\end{aligned}$$

com

$$\begin{aligned}G_0 &= -(x + (\alpha + 1)t), \quad G = -x \cos(\theta) - [\alpha \cos(\theta) + \cos(3\theta)] t, \\ H &= -x \sin(\theta) + [\alpha \sin(\theta) - \sin(3\theta)] t \quad \text{e } \theta = \arg(\eta_1).\end{aligned}$$

Exemplo 5 : A solução wobble para três níveis de tempo:

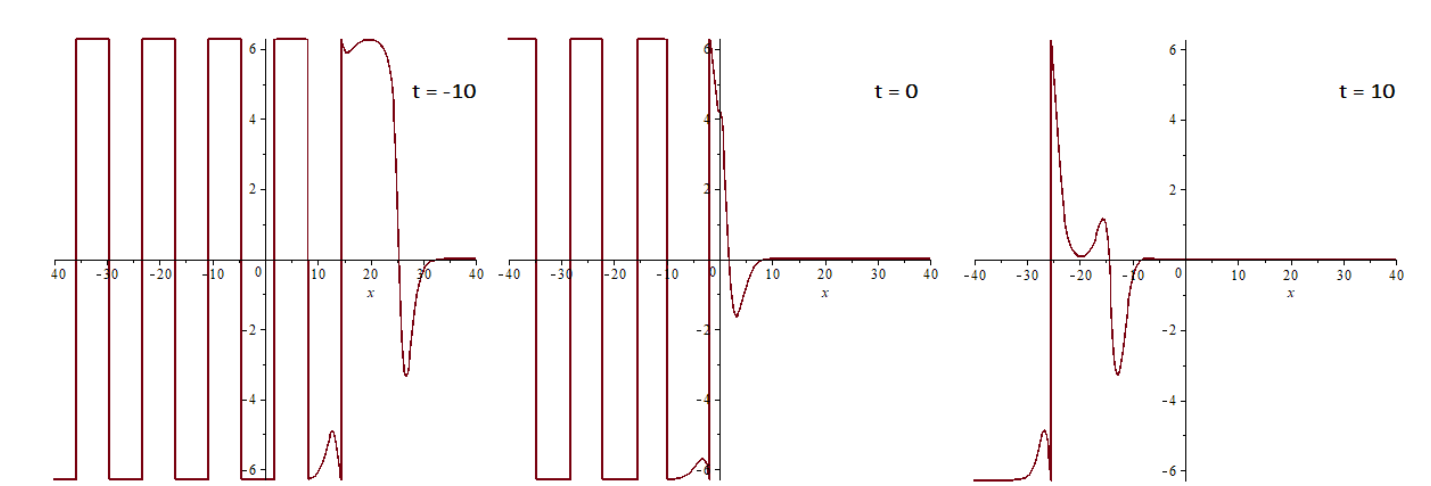


Figura 5: $\alpha = 1$; $\theta = \frac{\pi}{6}$.

5. Conclusão

O desenvolvimento do presente trabalho possibilitou a construção de fórmulas puramente algébricas, a fim de encontrar as soluções 1,2,3-sóliton, breather e wobble da equação de Konno-Sanuki. Além disso, ressaltamos a importância do uso de softwares matemáticos (como por exemplo Maple) para construção e verificação das soluções encontradas com representações físicas que corroboram com a teoria; tornando ainda mais consistentes os resultados encontrados. Com isso, apresentamos métodos práticos e teóricos que podem ser utilizados para estudos futuros de equações PEs, demonstrando assim a relevância dos assuntos aqui abordados.

6. Agradecimentos

Ao PIBIC/CNPq pela bolsa de Iniciação Científica.

Referências

- [1] CHERN, S.S.; TENENBLAT, K. Pseudo-spherical surfaces and evolution equations. *Stud. Appl. Math.* **74** 55–83 (1986).
- [2] KONNO, K.; SANUKI, H. Bäcklund transformation for equation of motion for nonlinear lattice under weak dislocation potential. *J. Phys. Soc. Japan* **39**, 22–24 (1975).
- [3] KONNO, K.; KAMEYAMA, W.; SANUKI, H. Effect of weak dislocation potential on nonlinear wave equation in an anharmonic crystal. *J. Phys. Soc. Japan* **37**, 171–176 (1974).
- [4] KONNO, K.; WADATI, M. Simple Derivation of Bäcklund Transformation from Riccati Form of Inverse Method. *Progress of Theoretical Physics. Japan*, Vol.53, No.6, (Jun 1975).
- [5] ROGERS, C.; SCHIEF, W. Bäcklund and Darboux Transformations: Geometry and Modern Applications in Soliton (Cambridge Texts in Applied Mathematics). Cambridge: Cambridge University Press. doi: 10.1017.(2002).

Apoio



V Reunião Anual de Ciência, Tecnologia, Inovação e Cultura no Recôncavo da Bahia - V RECONCITEC

XIII Seminário Estudantil de Pesquisa, Inovação e Pós-Graduação - SEPIP • IV Simpósio de Extensão

II Seminário de Permanência Estudantil • VII Feira Acadêmica de Economia Solidária - VII FAESOL